

Fig. 1

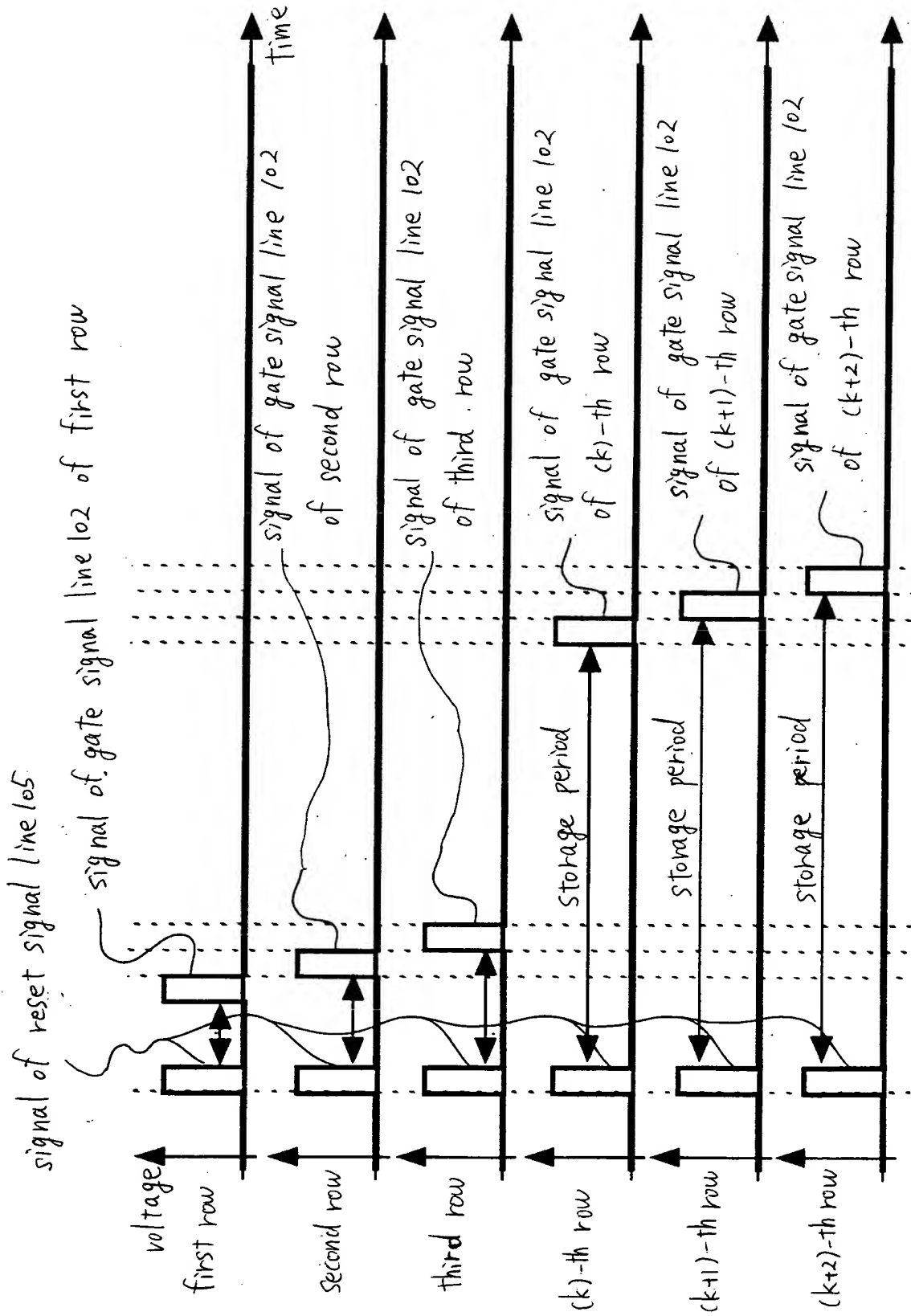


Fig. 2

105250" 08249860

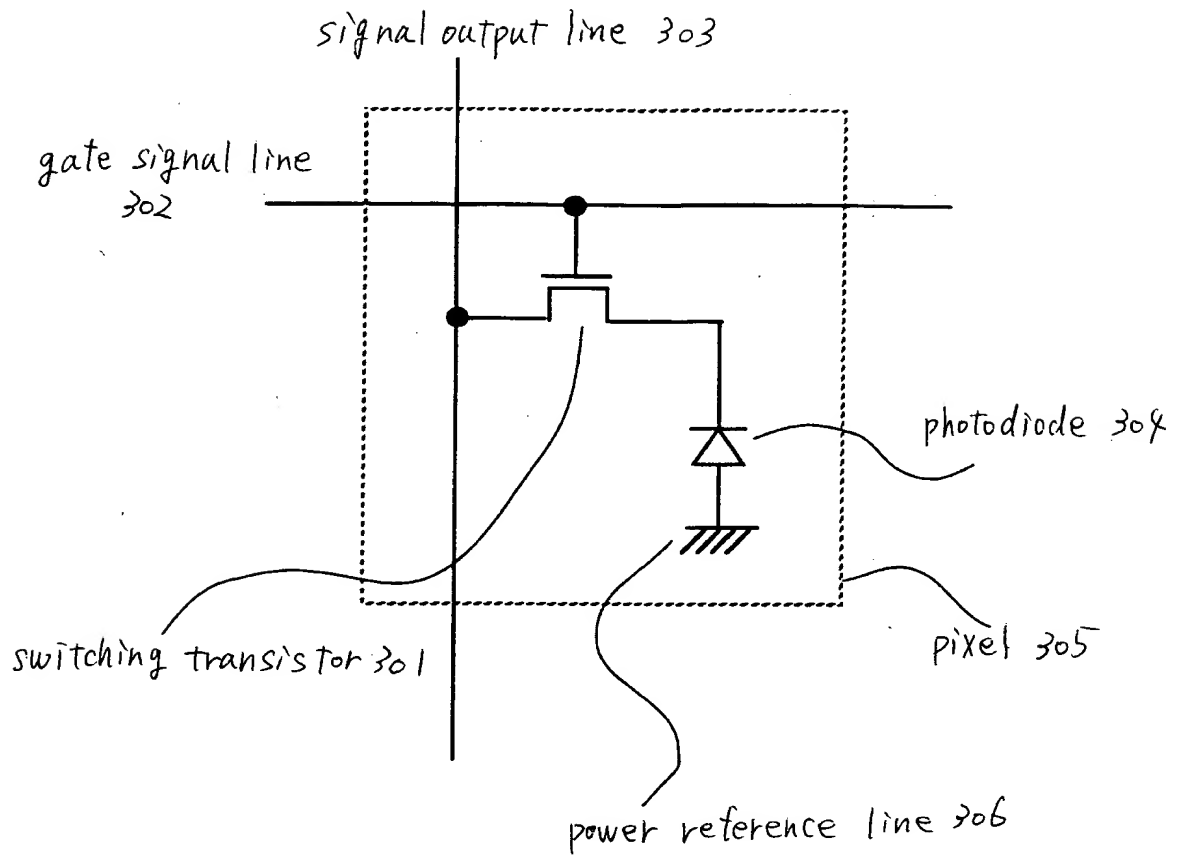


Fig. 3

Prior Art

09264280.052501

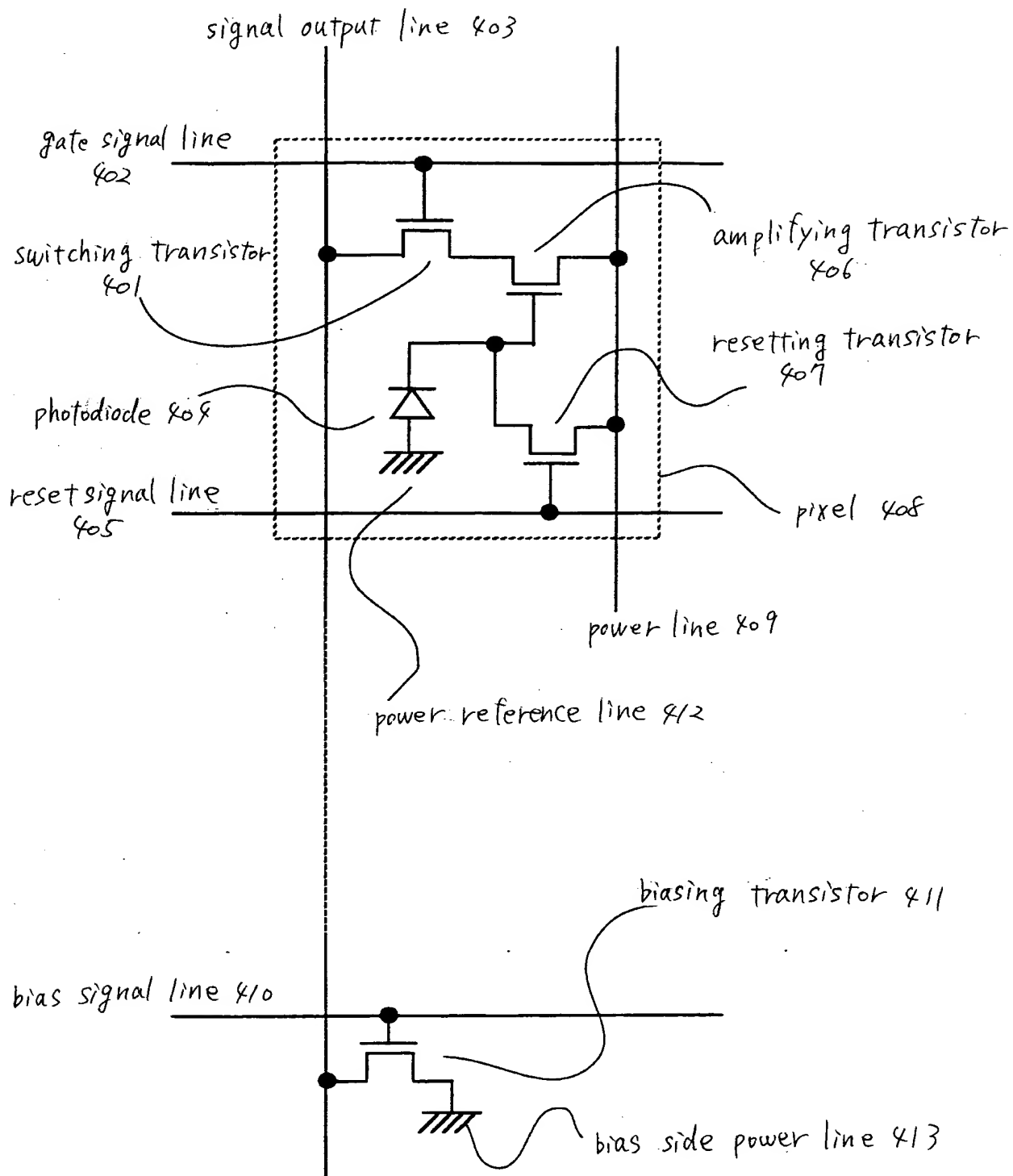


Fig. 4

Prior Art

09864280.052501

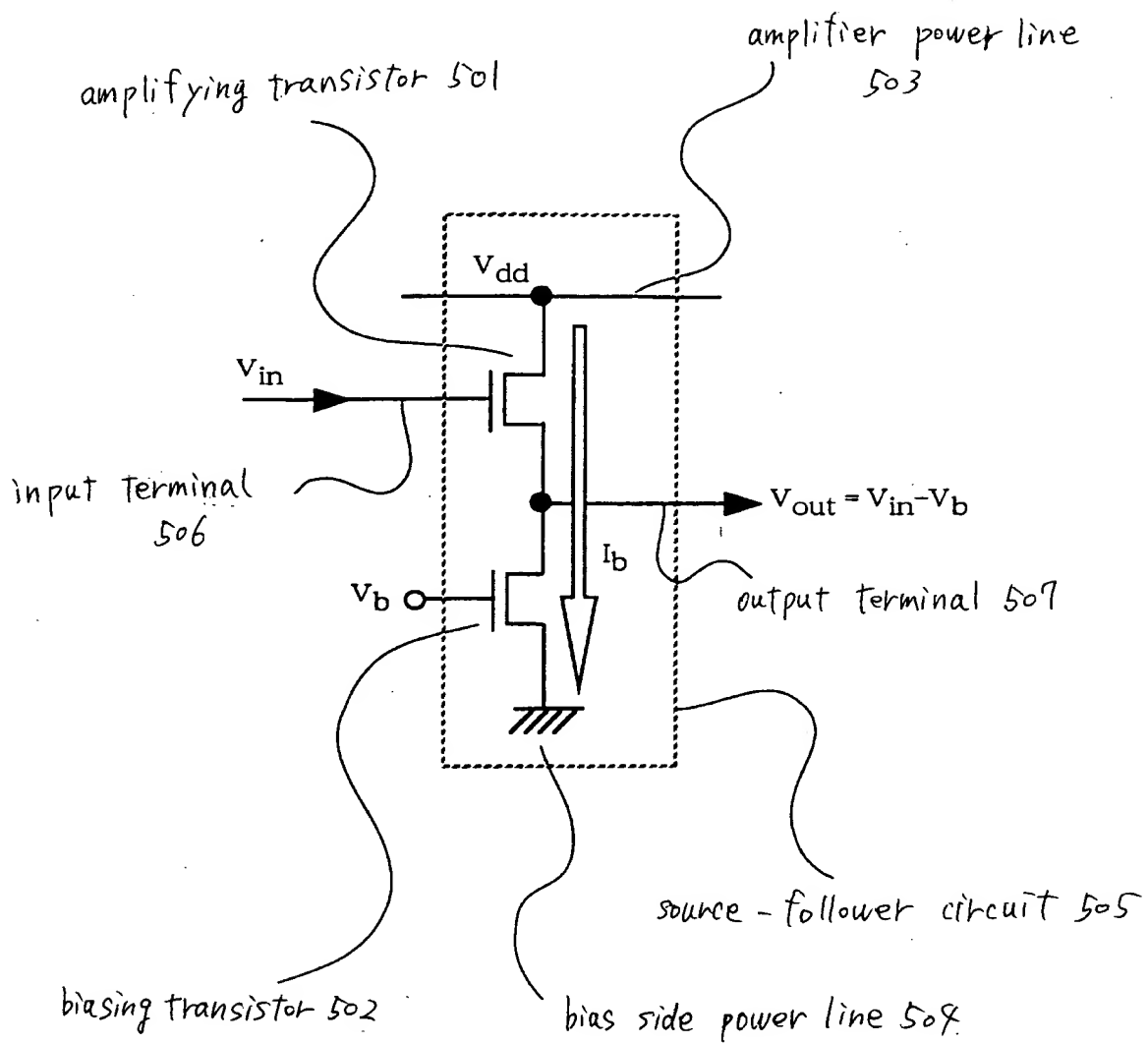


Fig. 5

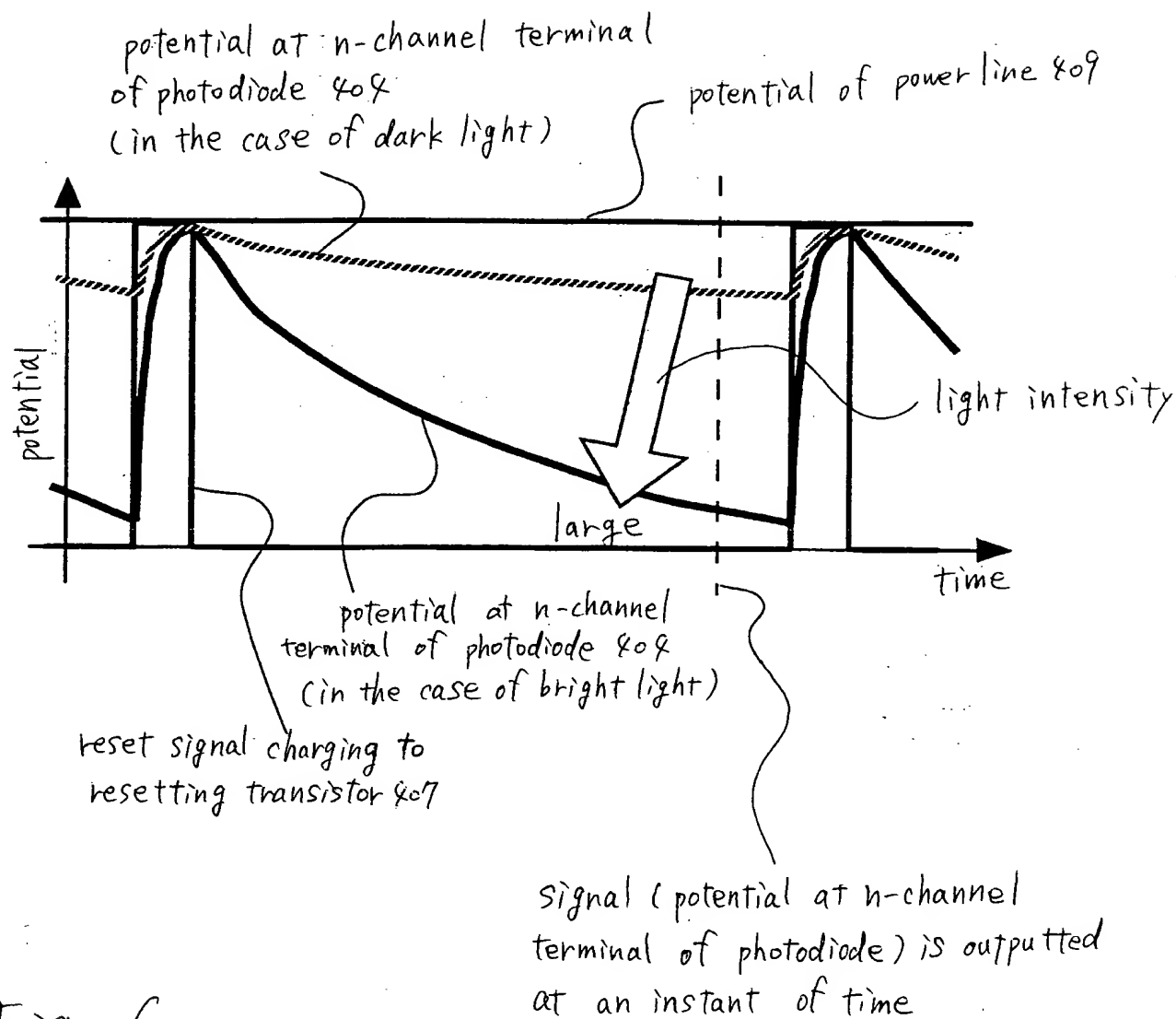


Fig. 6

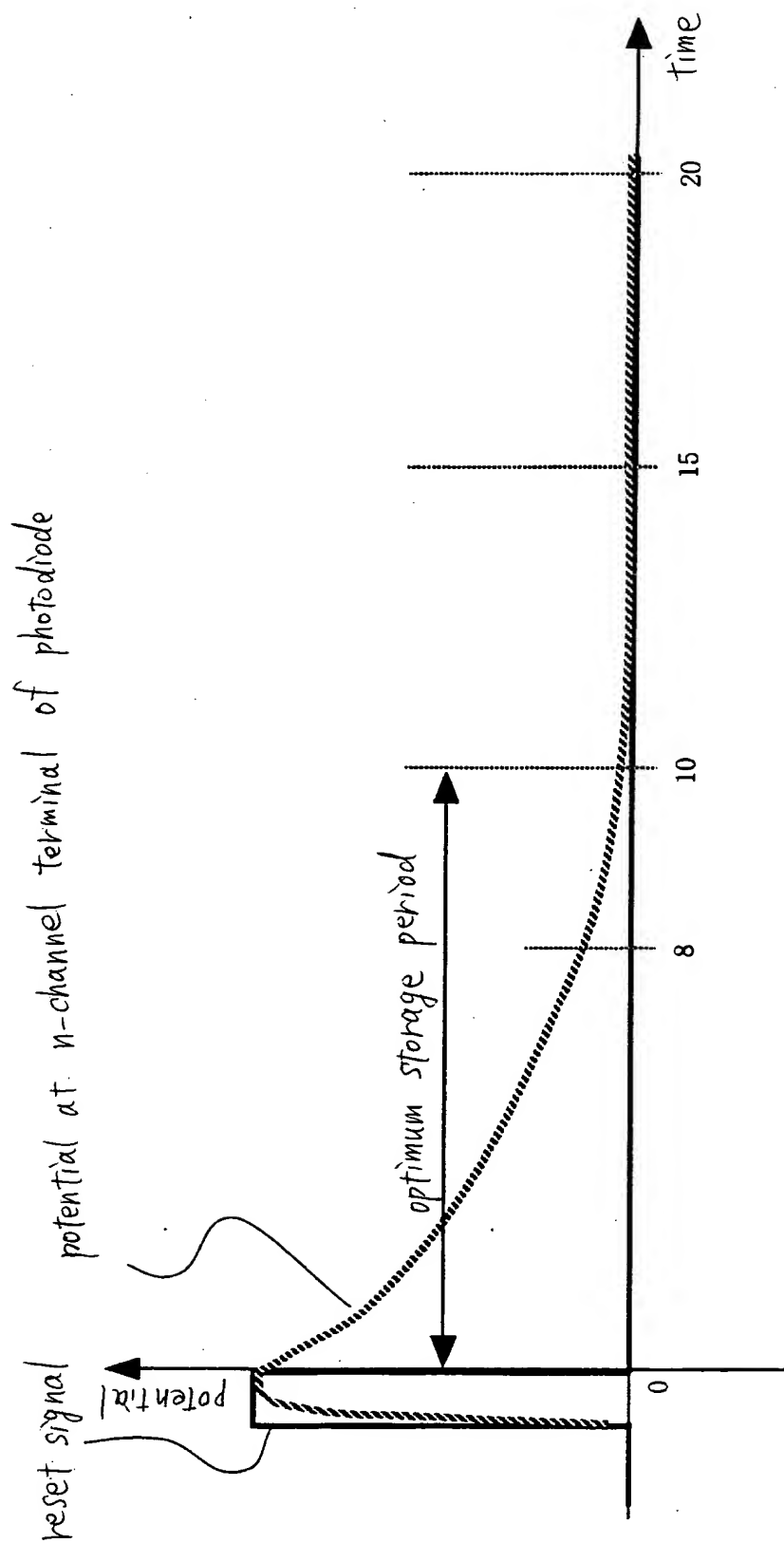


Fig. 17

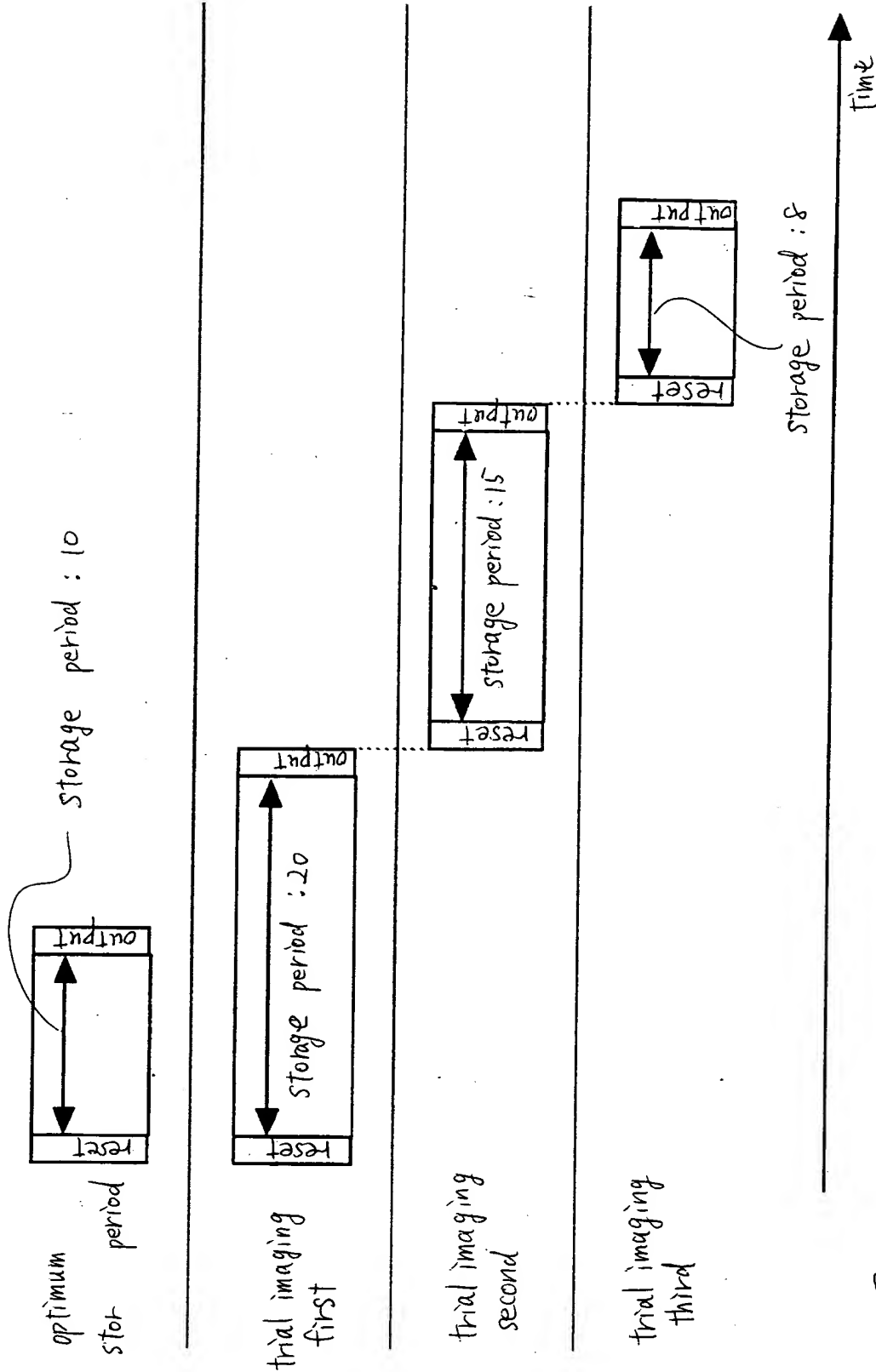


Fig. 8

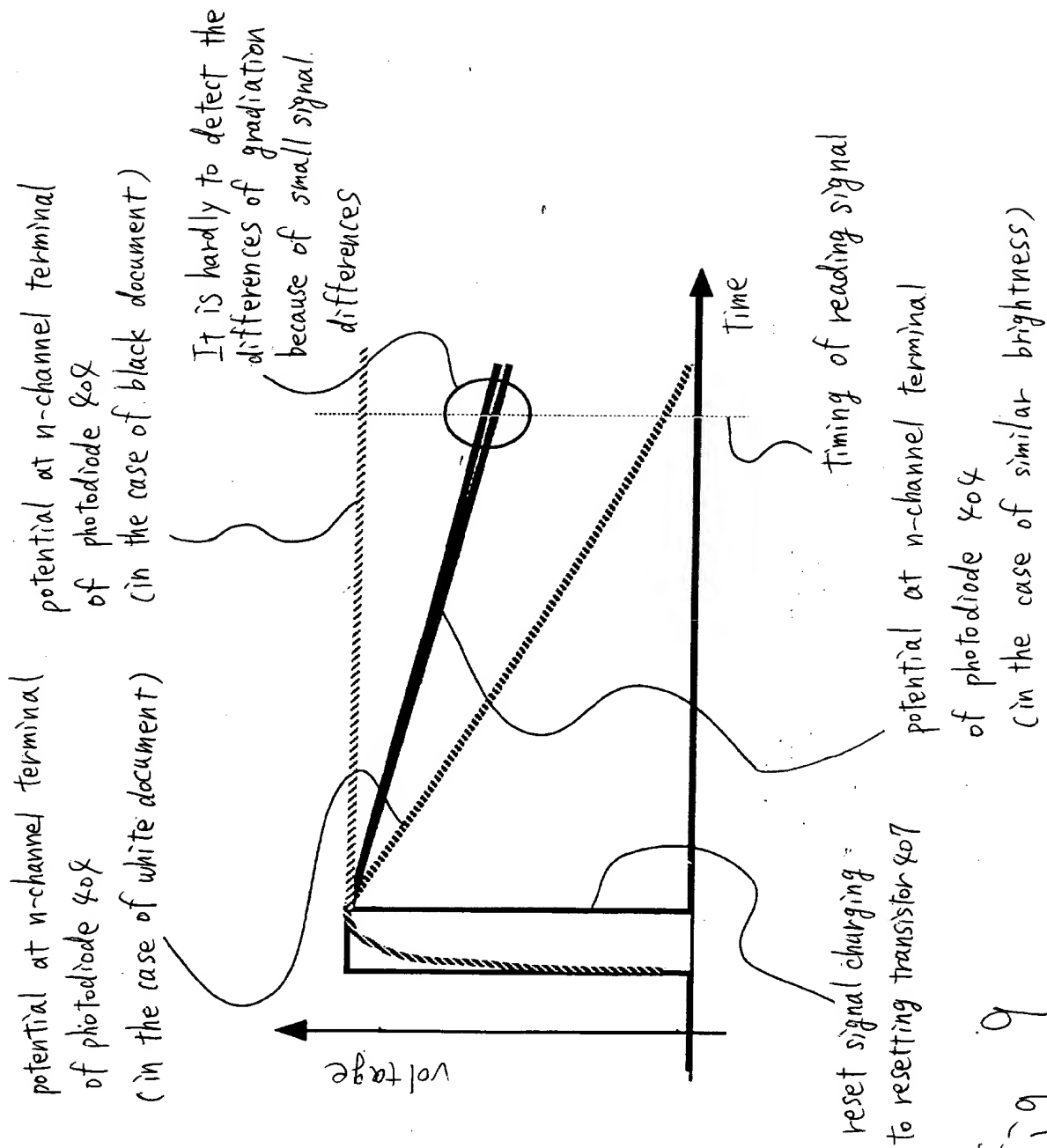


Fig. 9

09864280 052501

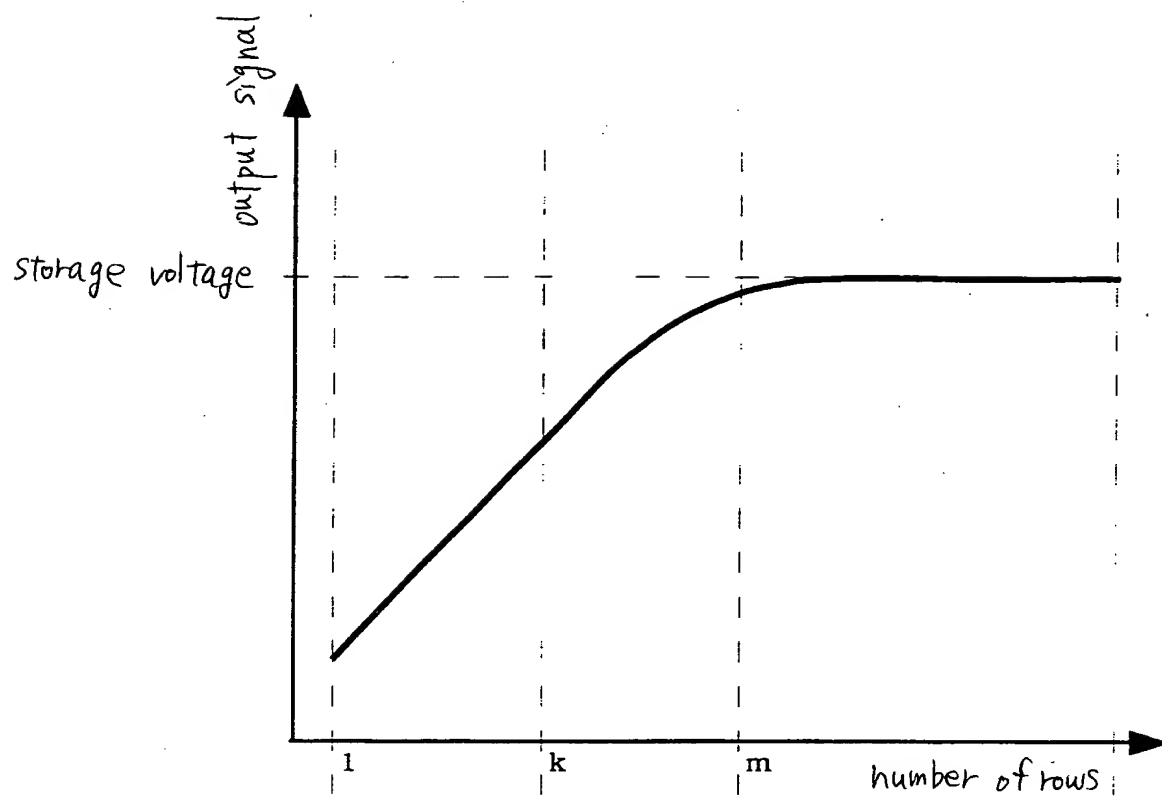


Fig. 10

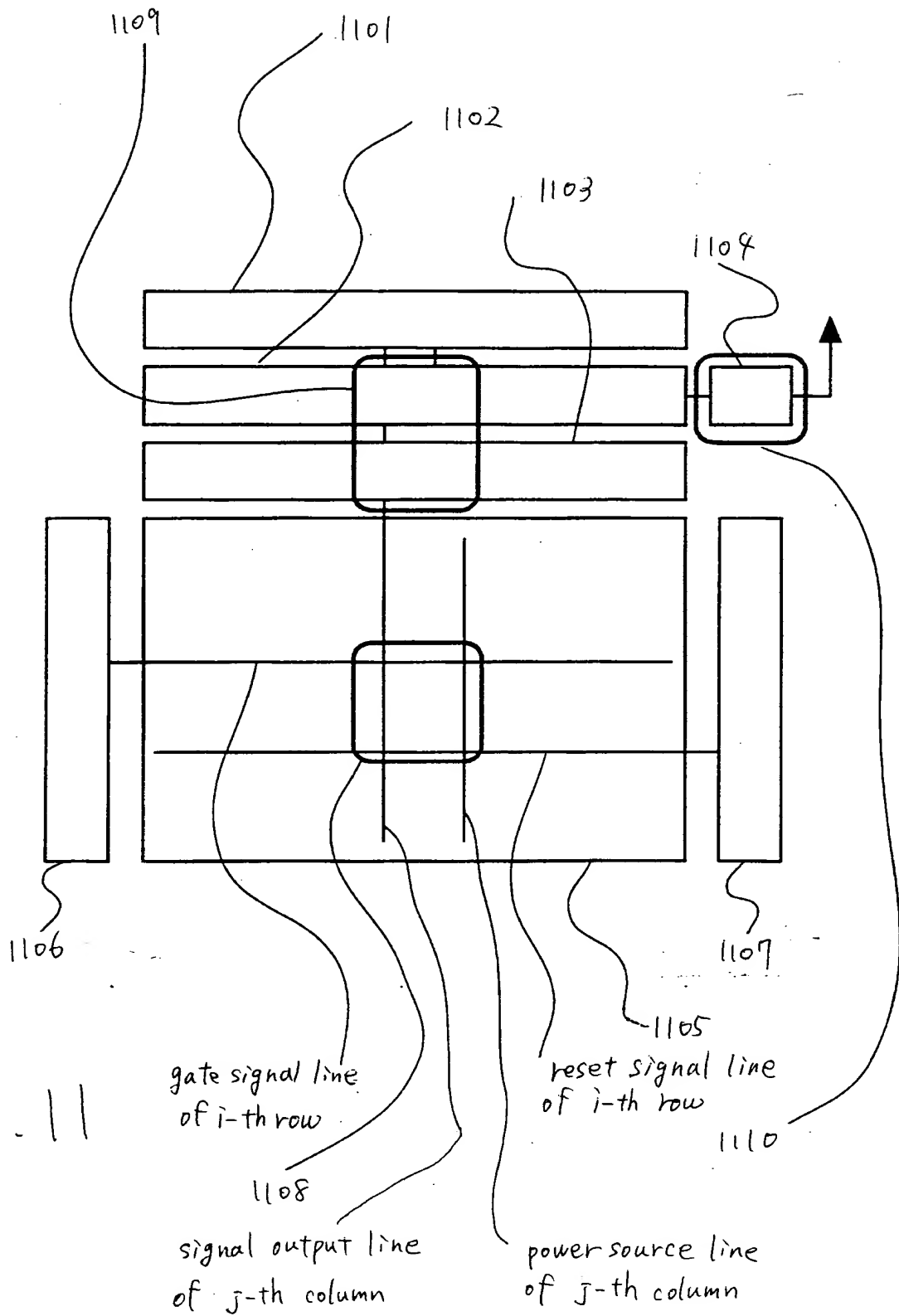


Fig. 11

[illegible]

Fig. 12

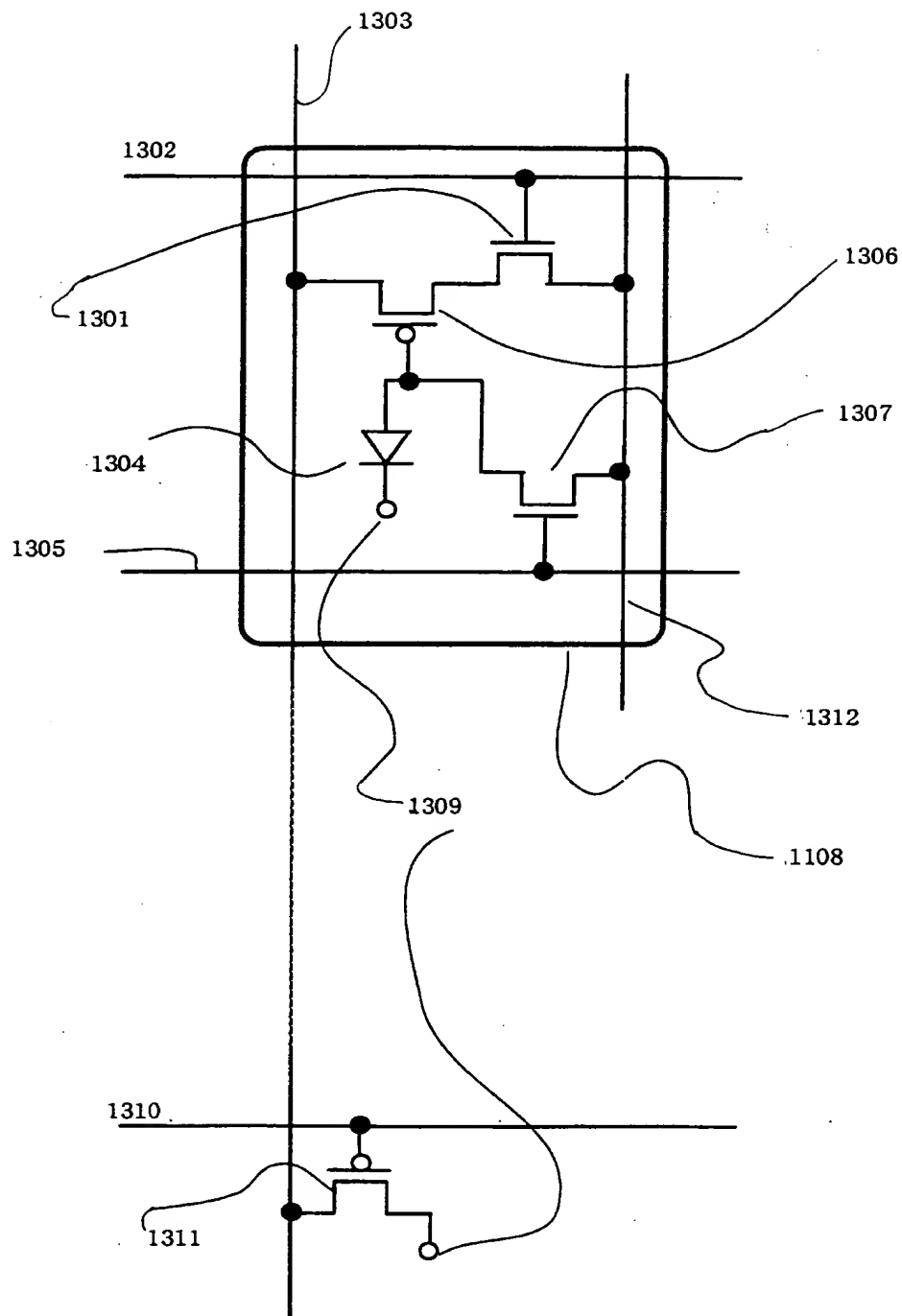


Fig. 13

09864280 052501

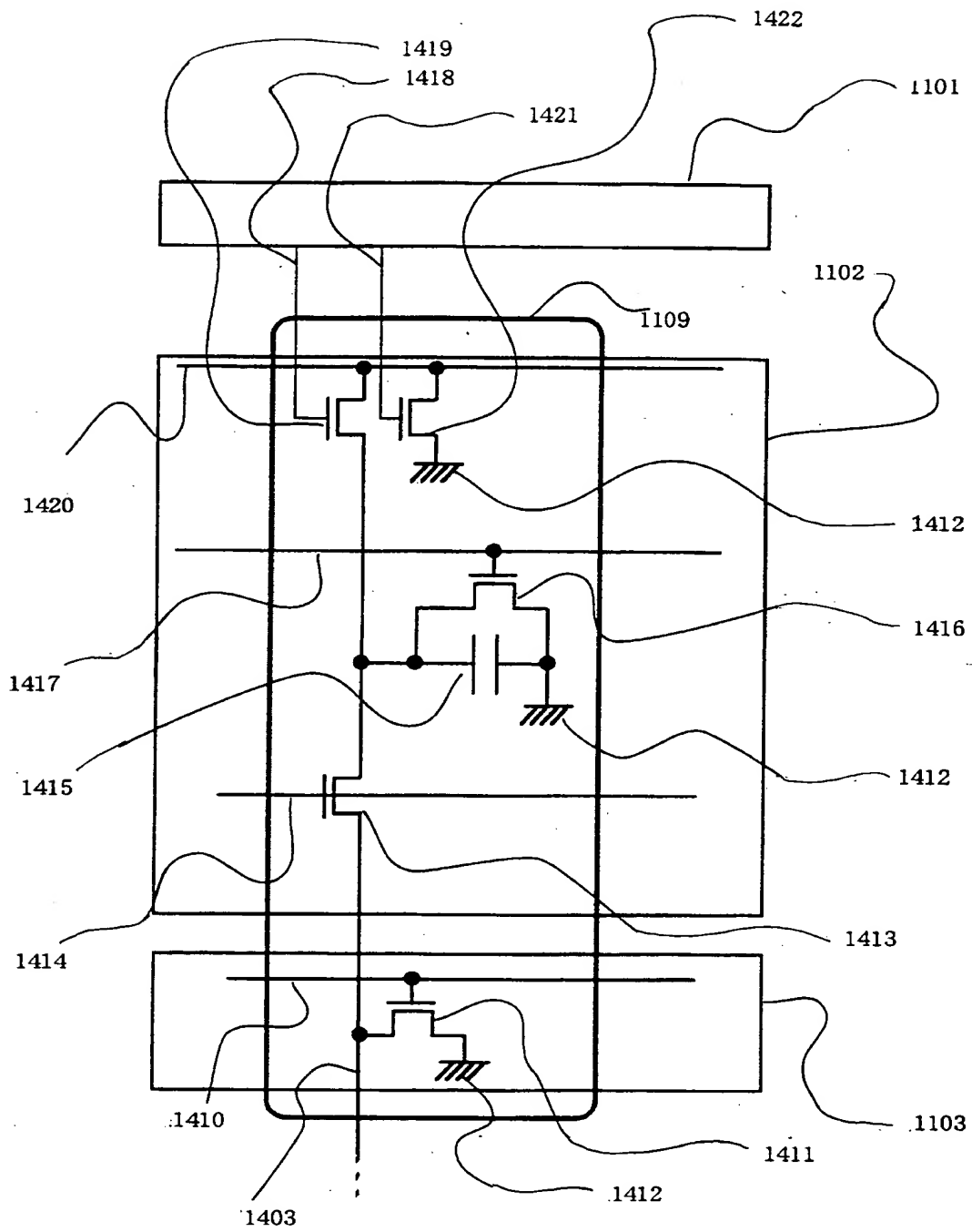
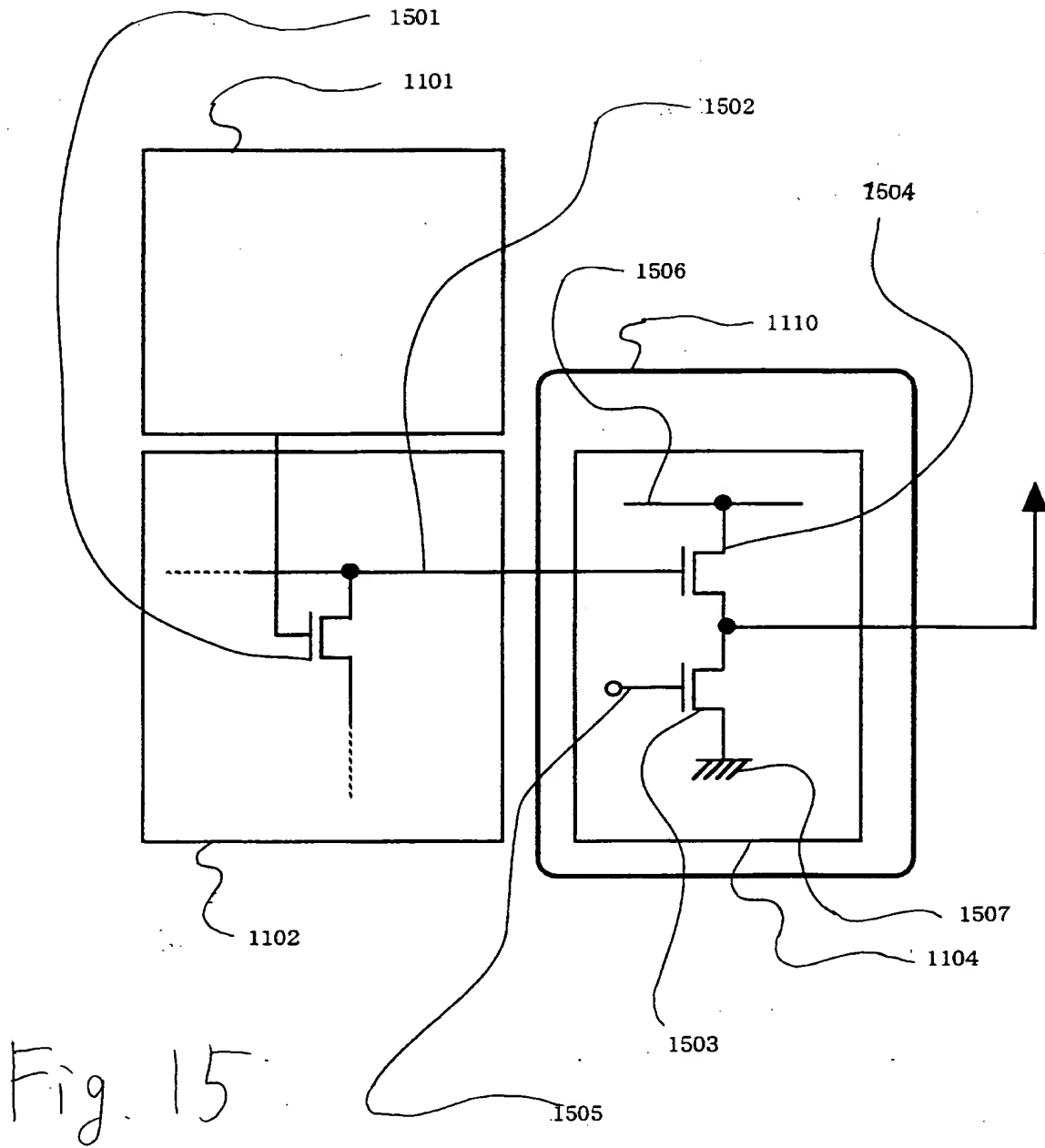
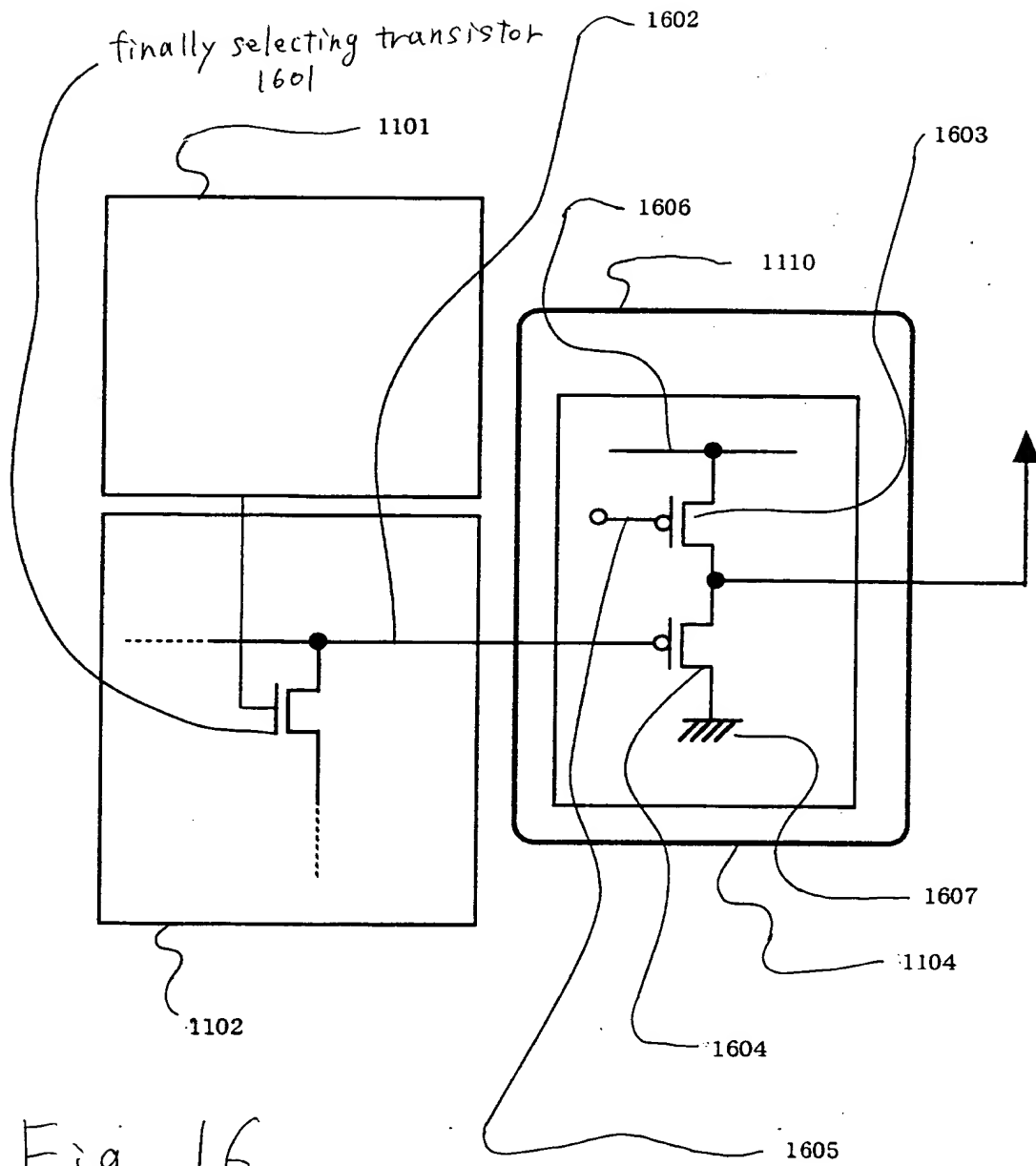


Fig. 14

09364250 052501



09364280.052501



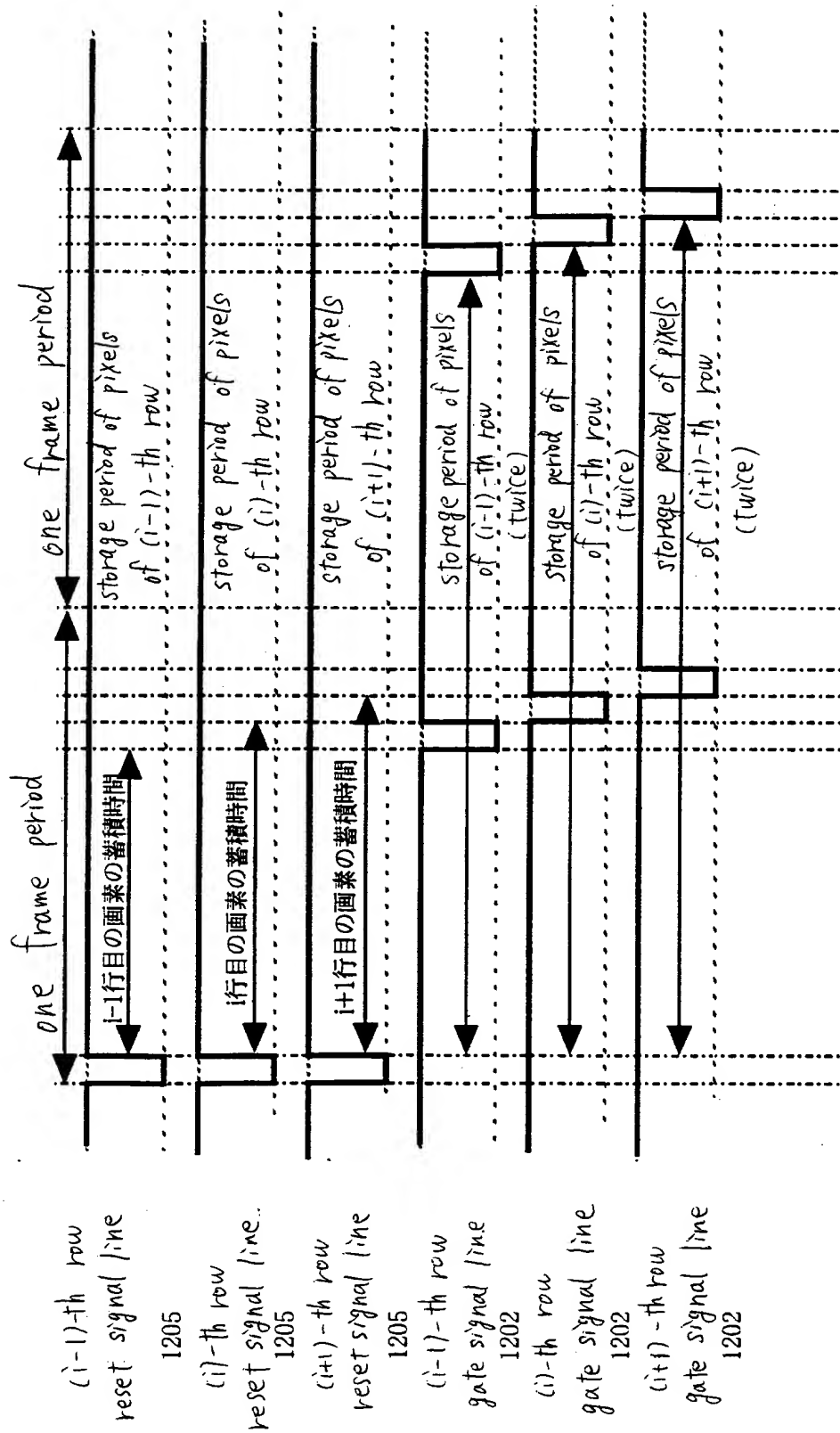


Fig. 17

FIG. 18
scanning period of driving circuit
for signal output line

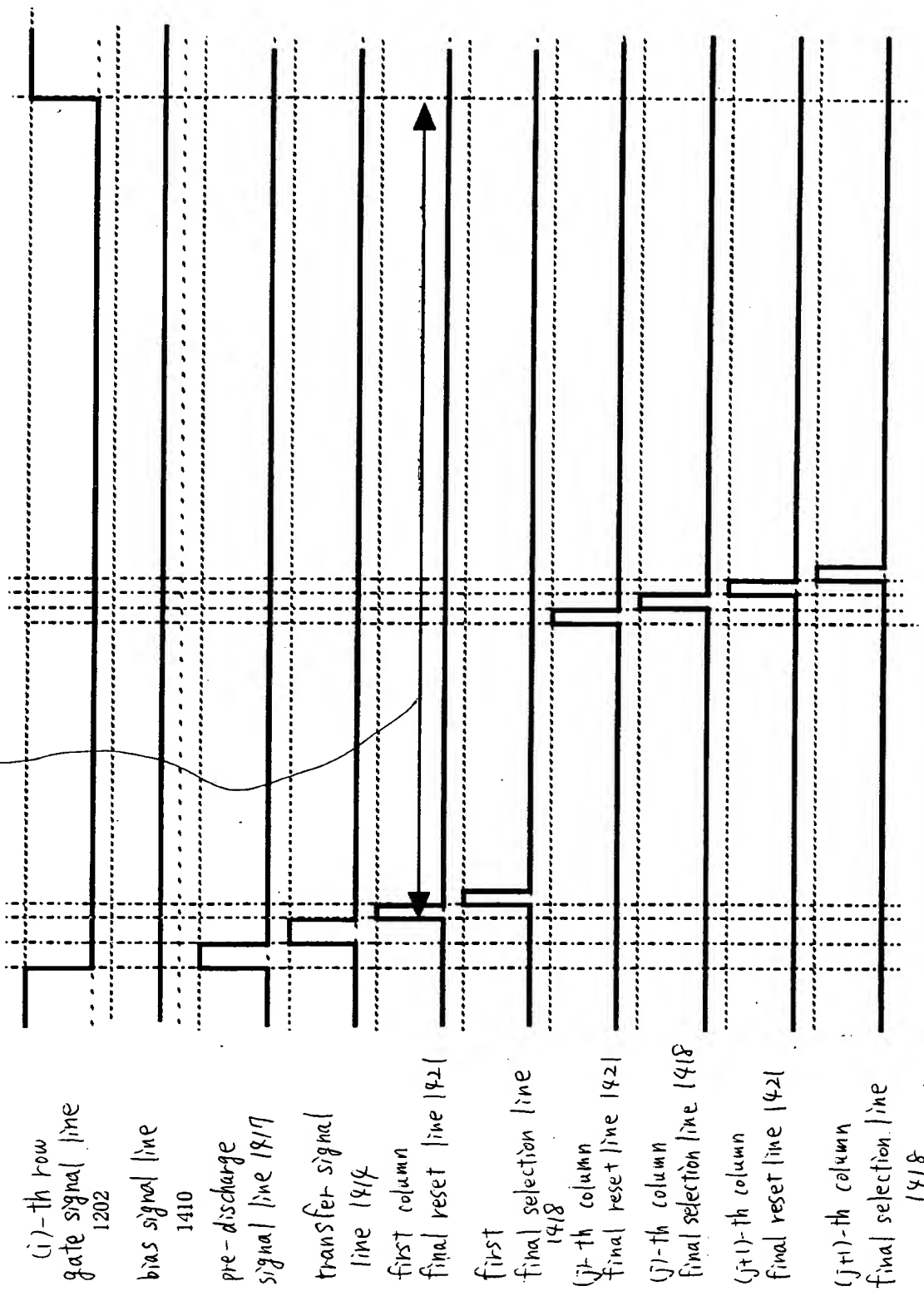


Fig. 18

09864280 052504
T05250 08249860

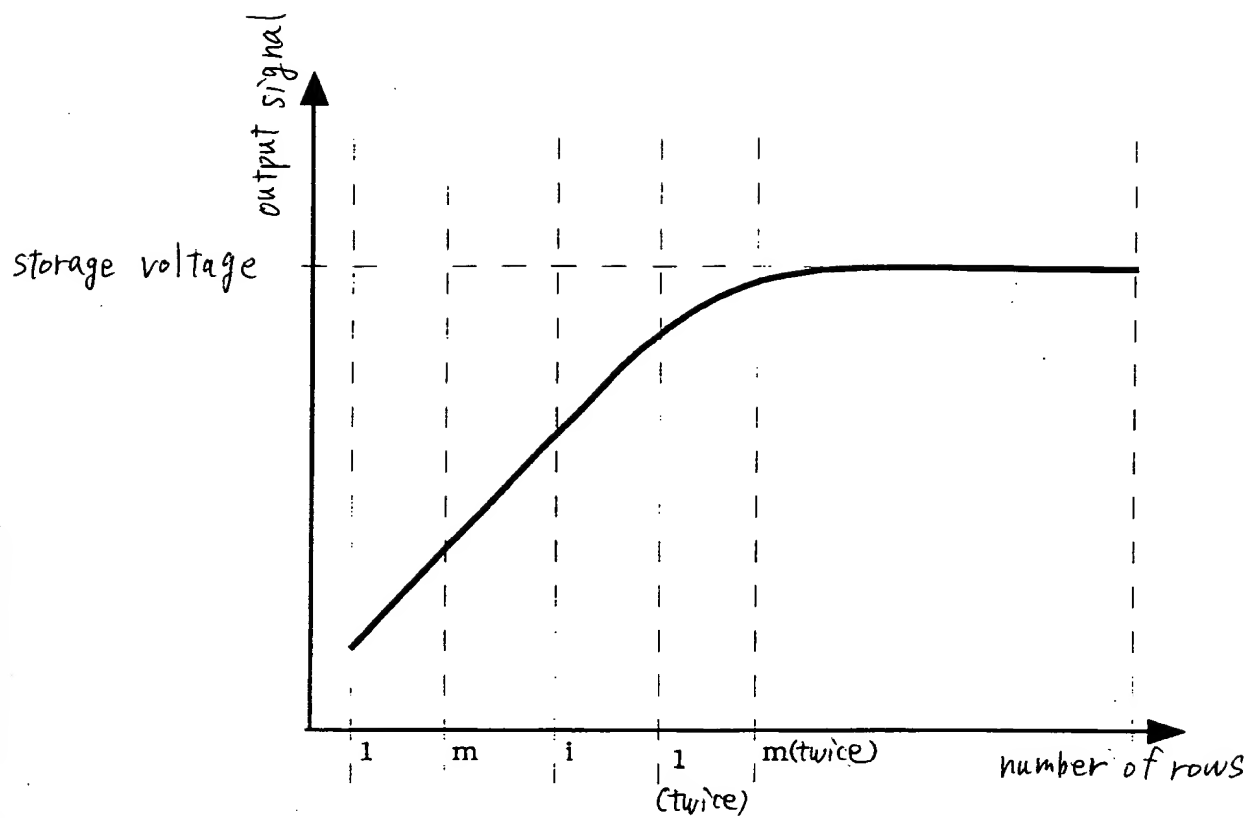


Fig. 19

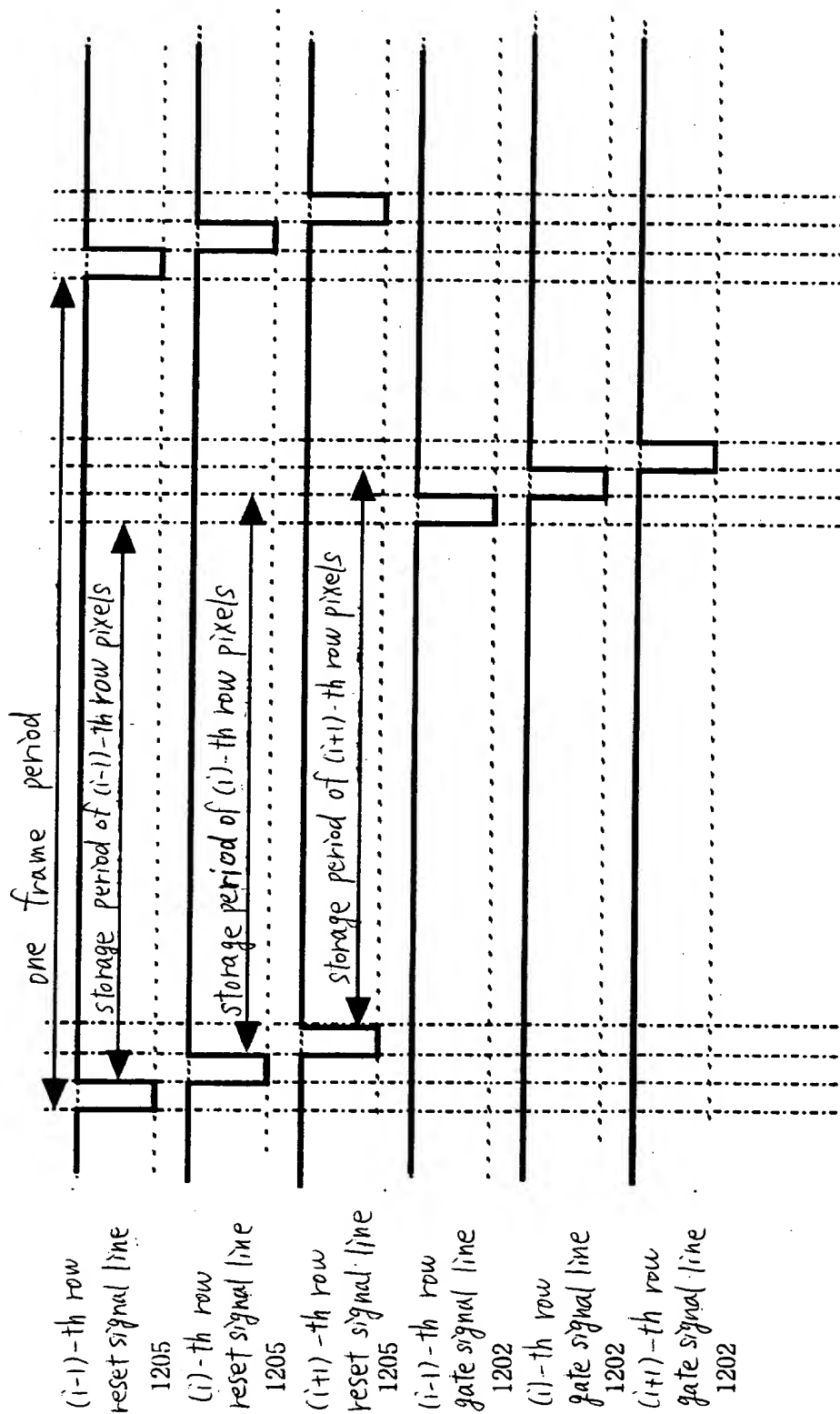


Fig. 20

0964280-052501
T05250-08249860

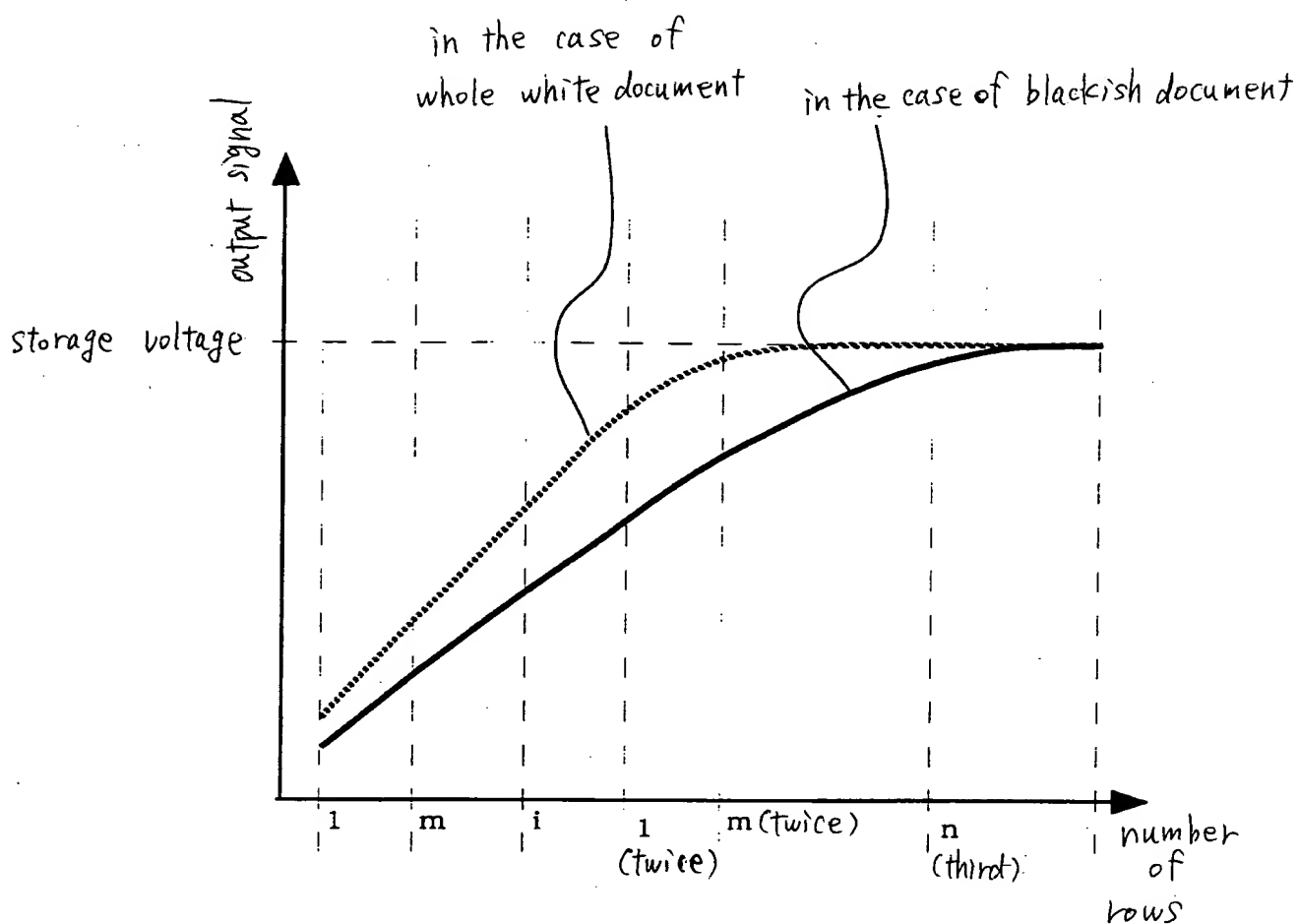


Fig. 21

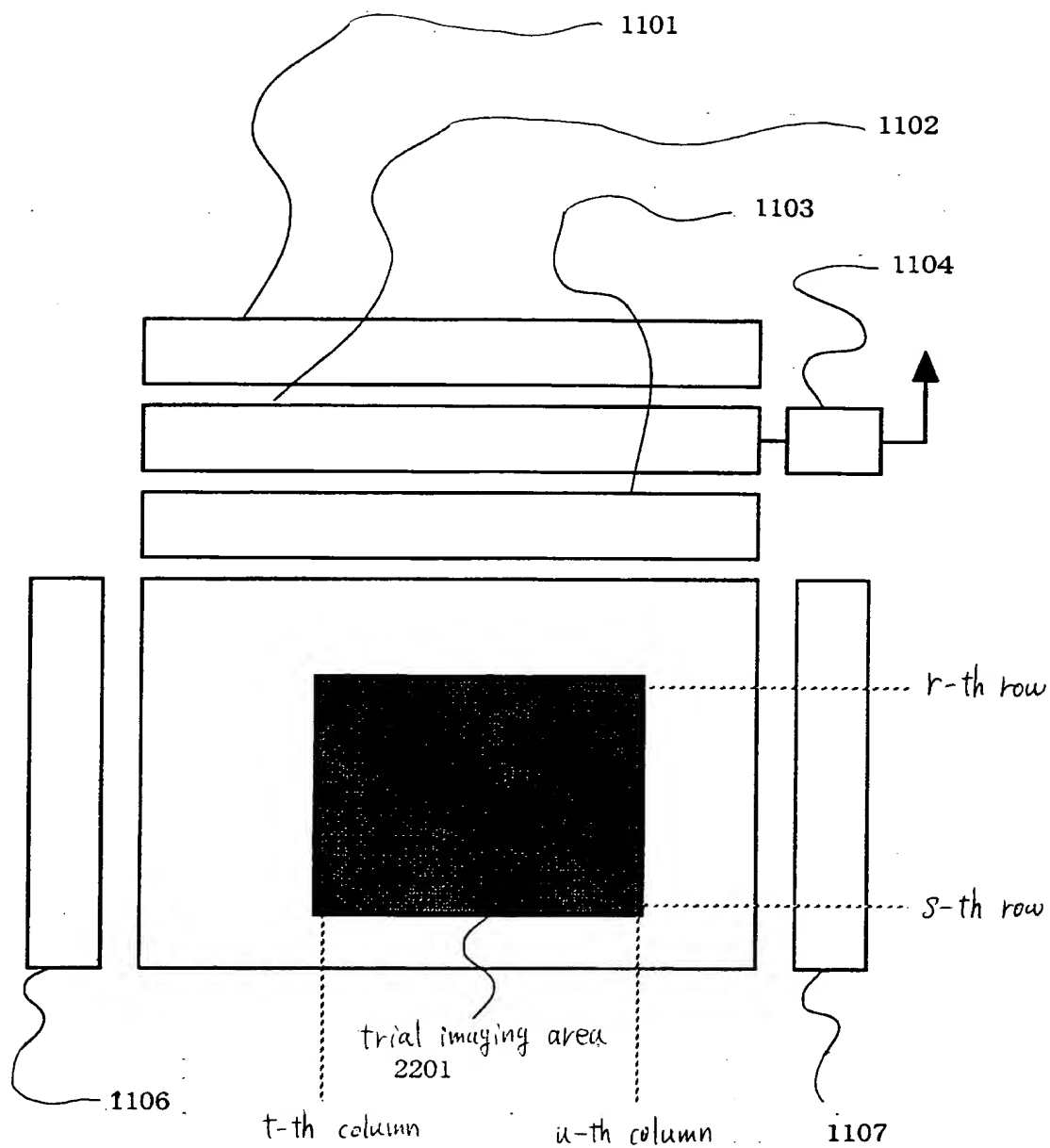


Fig. 22

09864280.052501

Fig. 23A

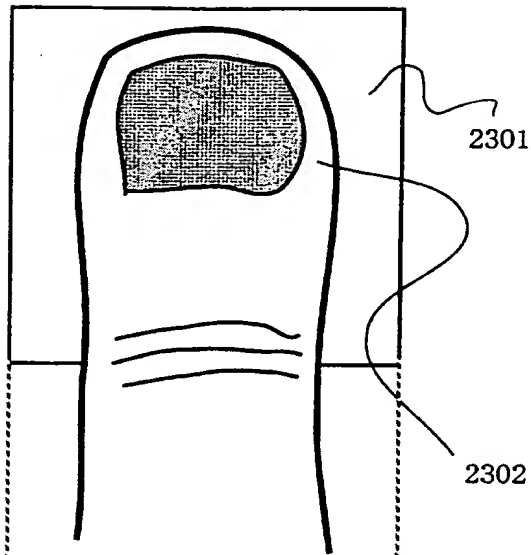
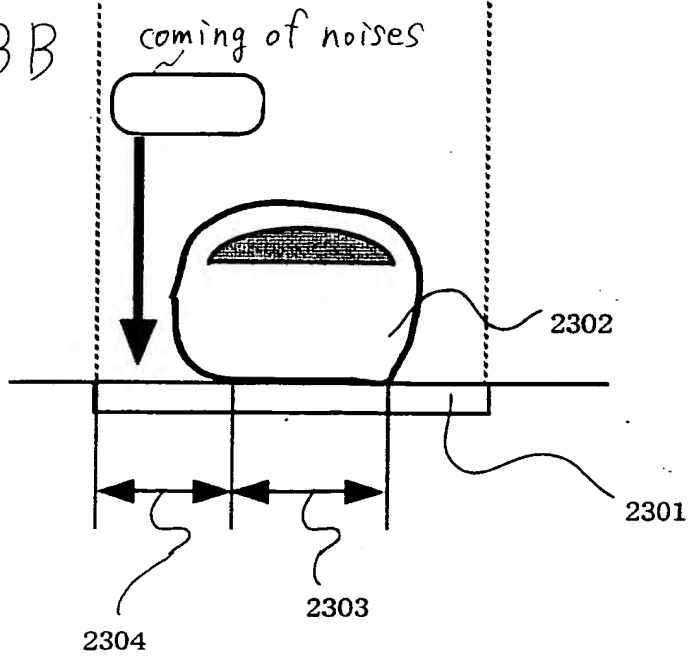


Fig. 23B



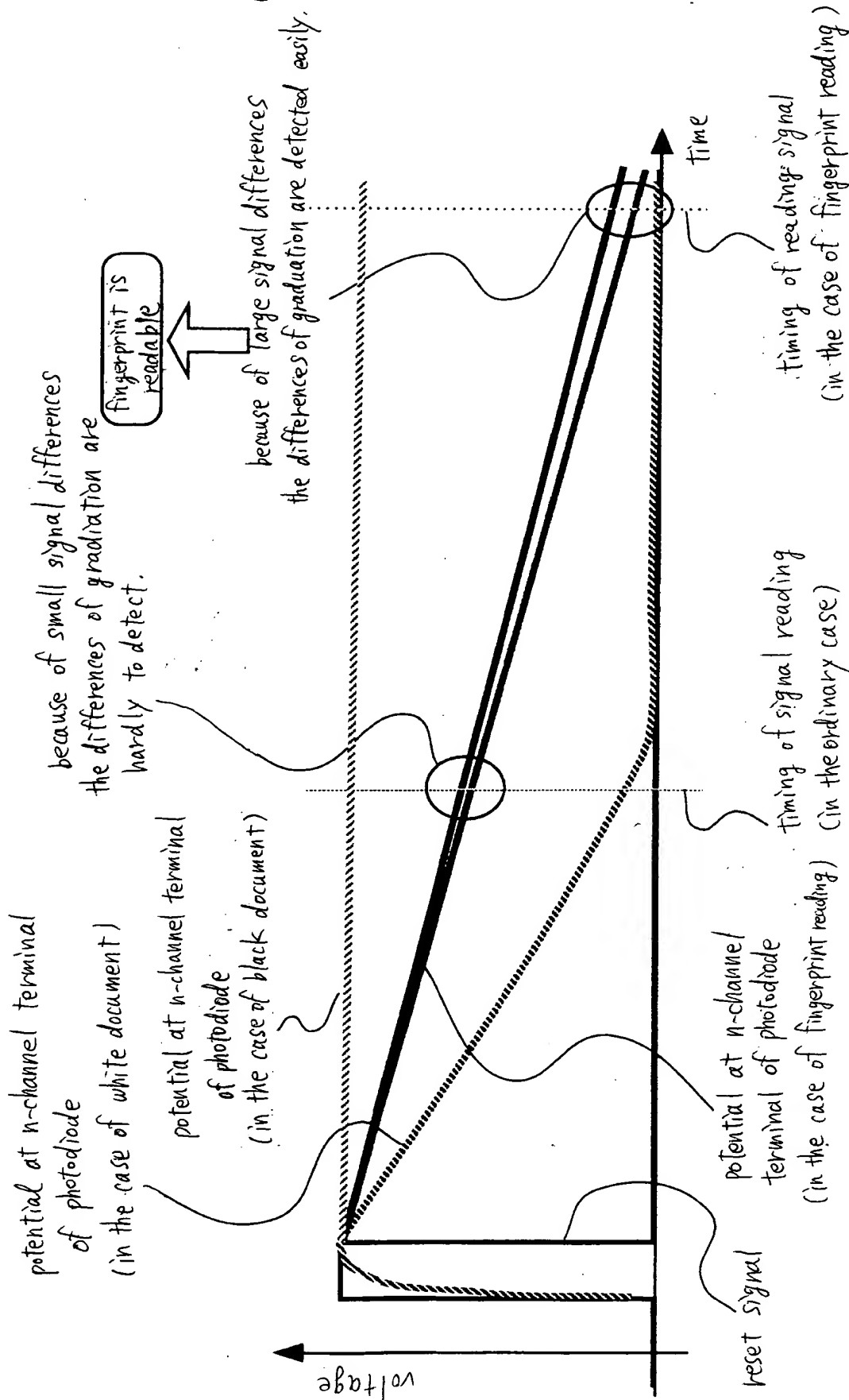
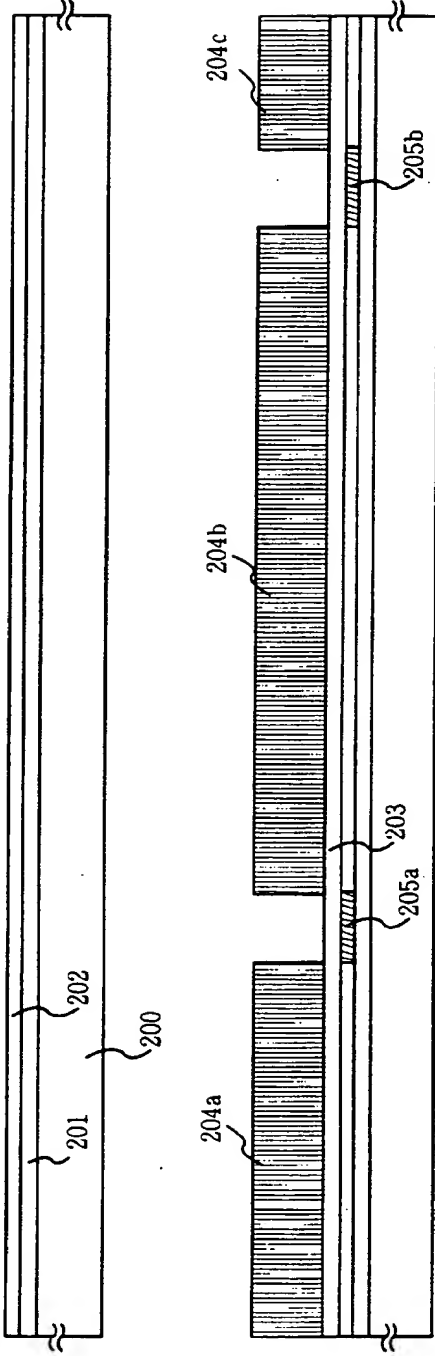
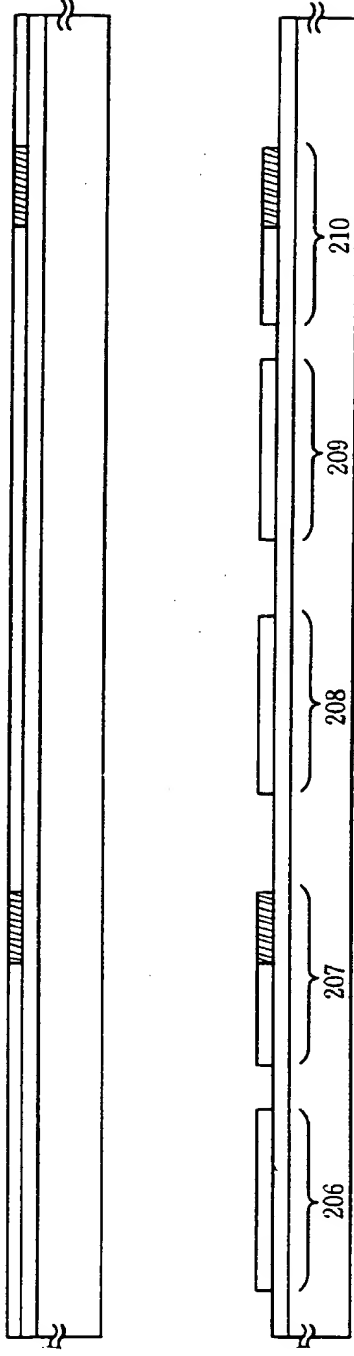


Fig. 24

process of crystallization



process of laser anneal



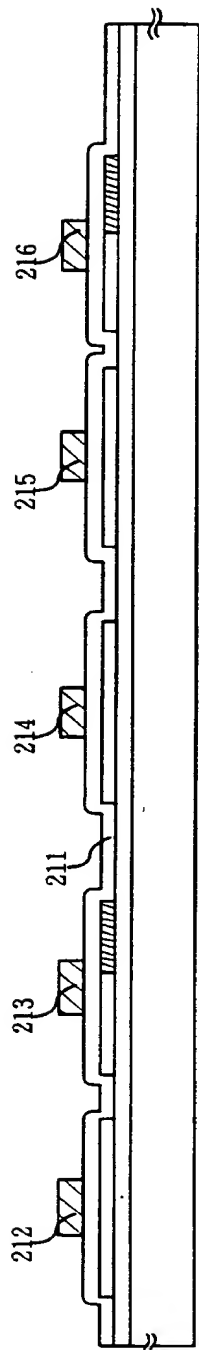


Fig. 26A

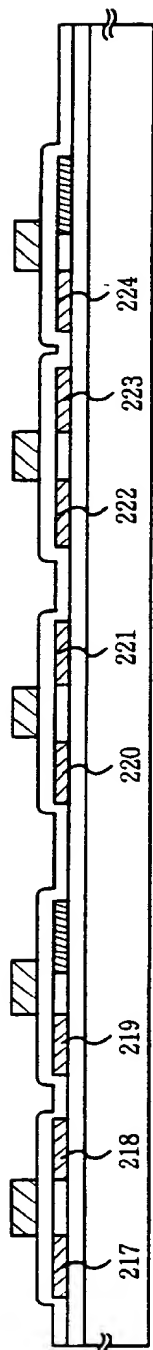


Fig. 26B

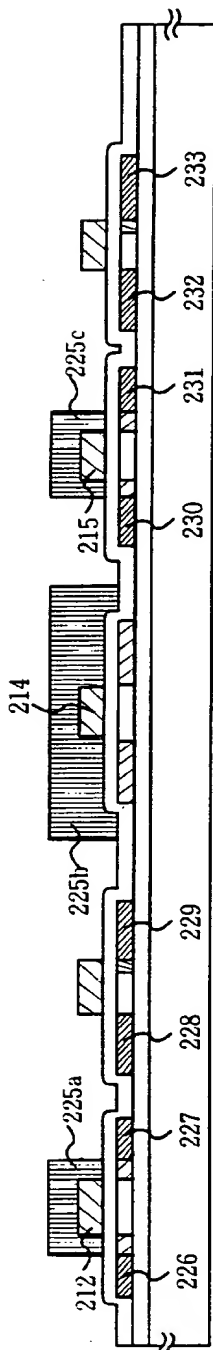


Fig. 26C

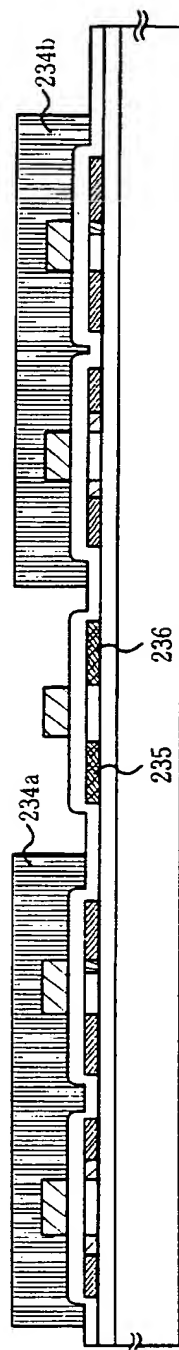


Fig. 26D

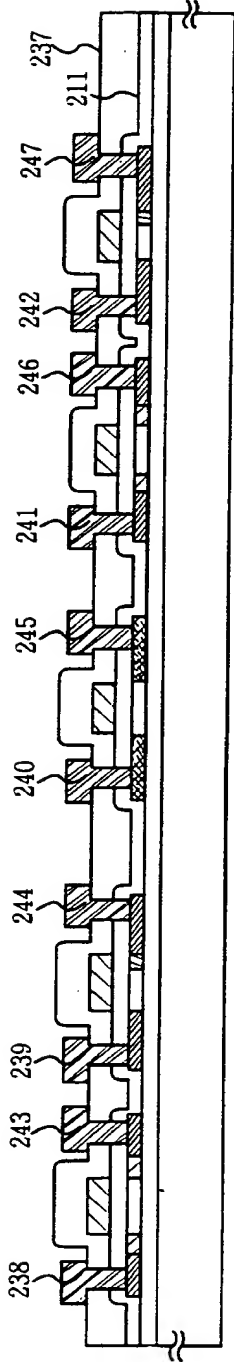


Fig. 27A

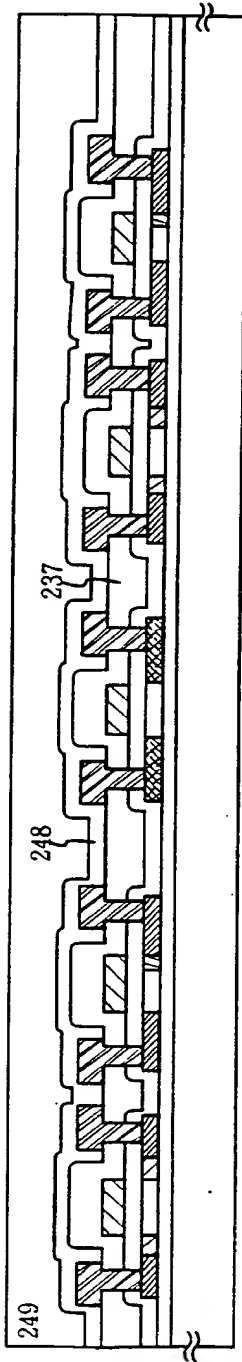


Fig. 27B

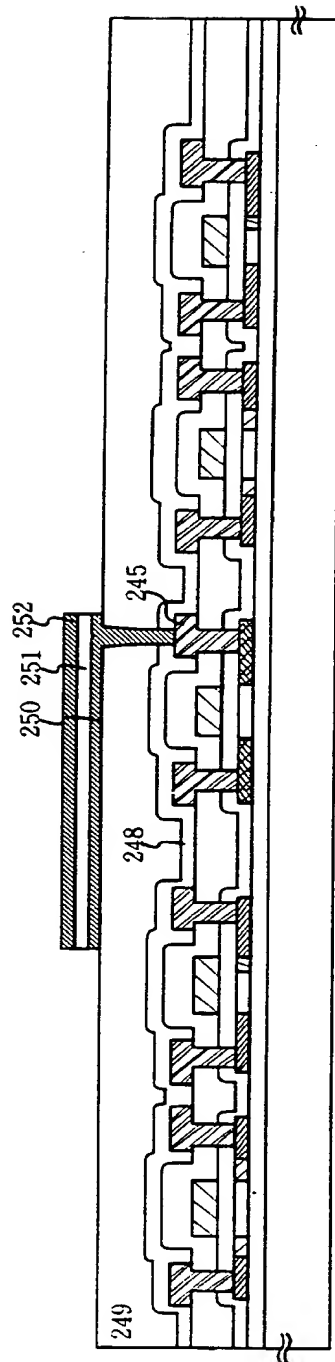


Fig. 27C

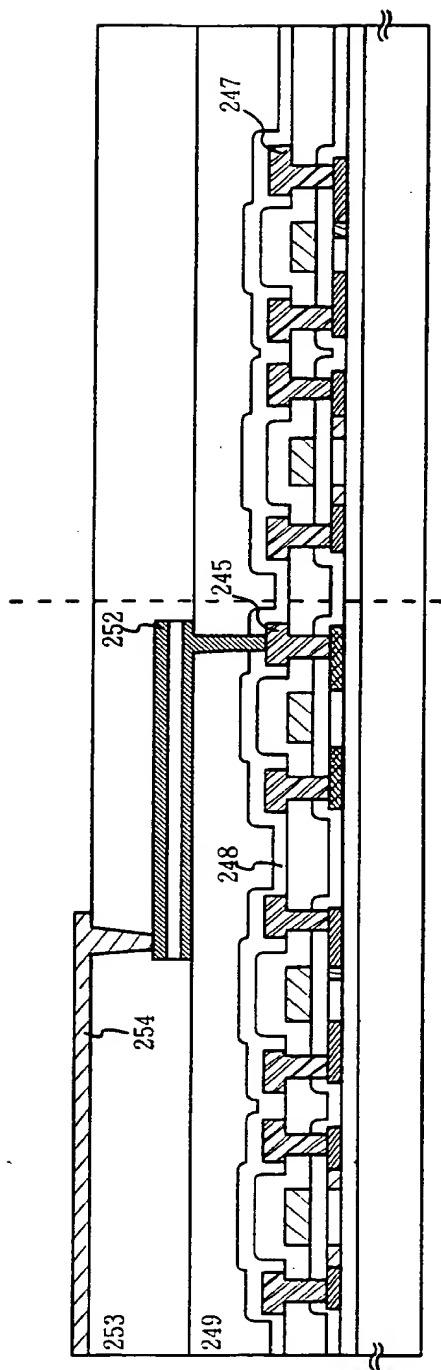


Fig. 28A

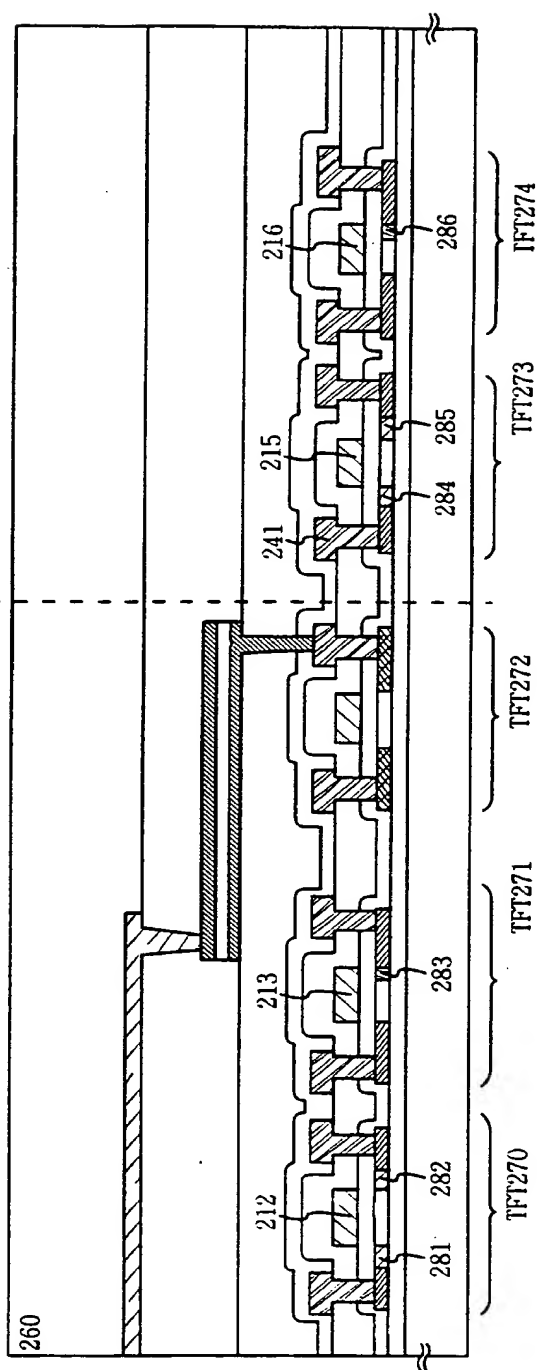


Fig. 28B

09864280.052501
105250" 08279860

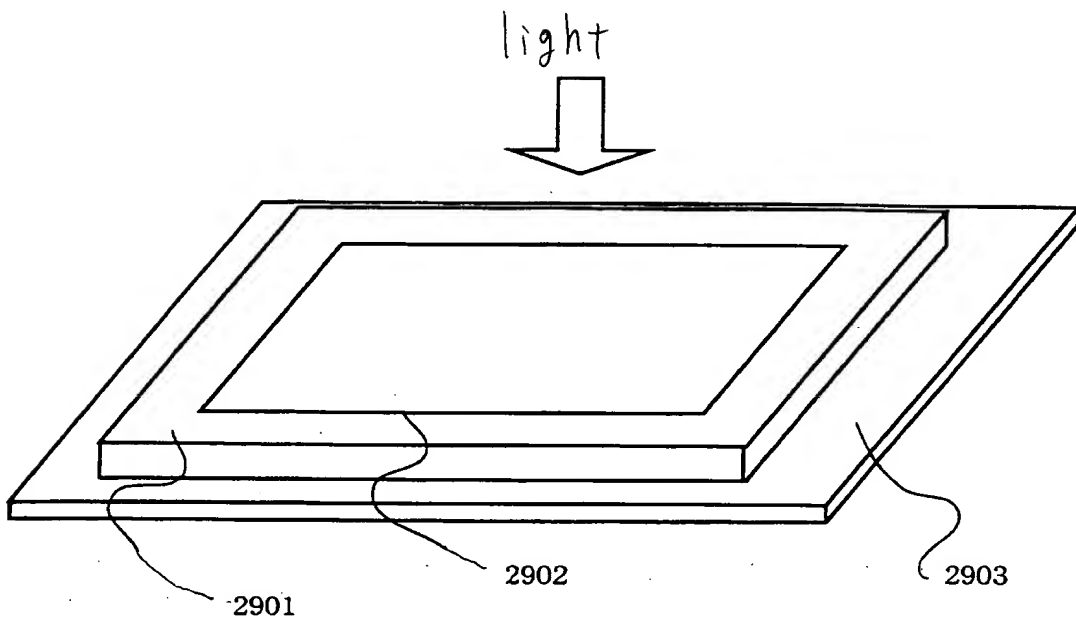


Fig. 29A

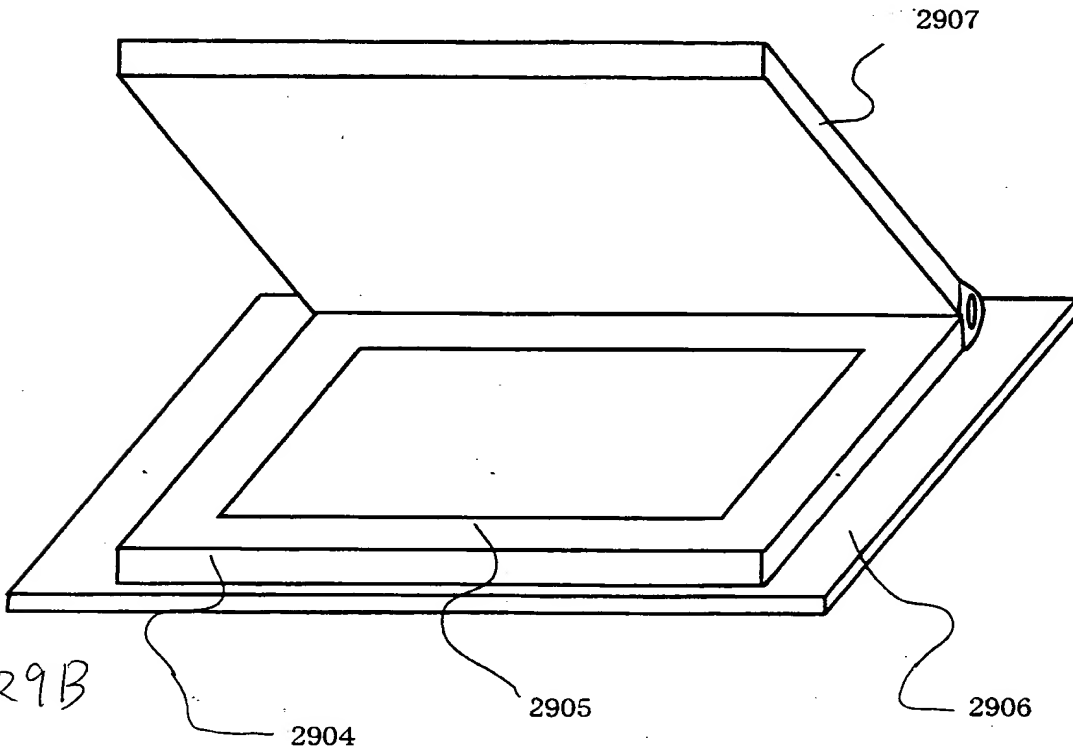


Fig. 29B

09864280.052501

Fig. 30A

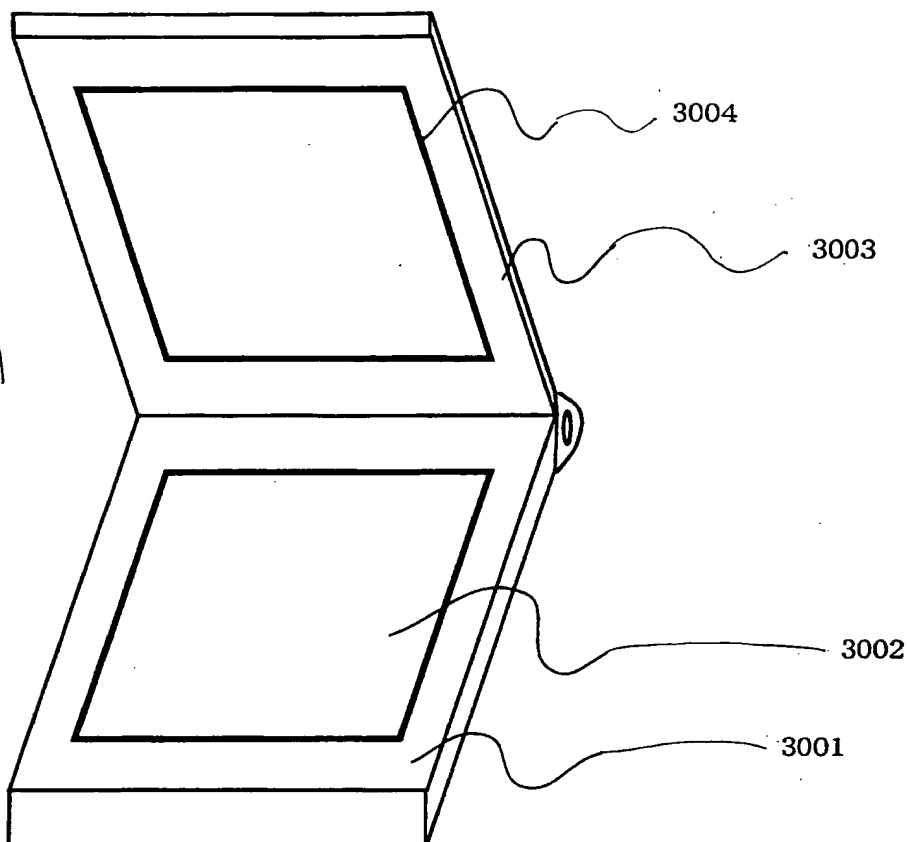
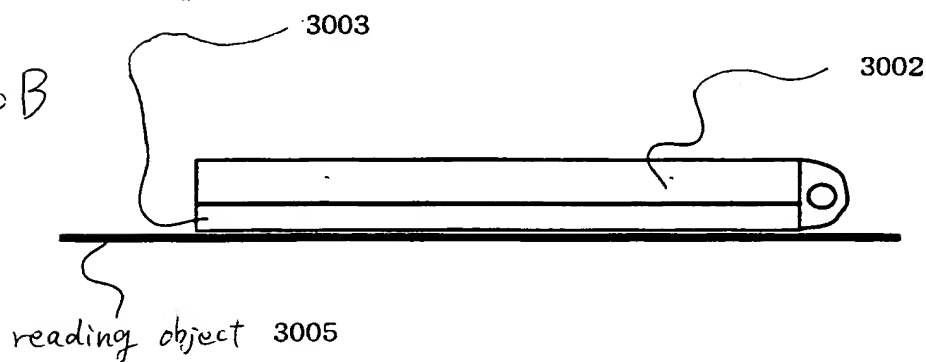


Fig. 30B



09864280 052501

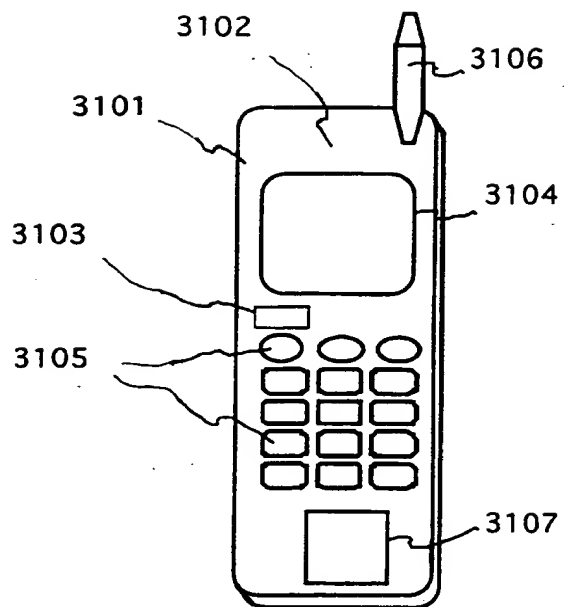


Fig. 31